

5. Аксенцев С. Л., Окунь И. М., Милютин А. А. и др. Сравнительное исследование β-адренорецепторов синаптических мембран мозга // Биофизика.— 1982.— 27, № 1.— С. 156—157.
6. Волотовский И. Д., Шейко Л. М., Финин В. С. и др. Влияние структурного состояния синаптосомальной мембраны на каталитические свойства ацетилхолинэстеразы // Изв. АН БССР.— Сер. биол. наук.— 1976.— № 5.— С. 60—70.
7. Канунго М. Биохимия старения.— М.: Мир, 1982.— 250 с.
8. Конев С. В., Аксенцов С. Л., Черницкий Е. А. Кооперативные переходы белков в клетках.— Минск : Наука и техника, 1970.— 202 с.
9. Конев С. В. Структурная лабильность биологических мембран и регуляторные процессы.— Минск : Наука и техника, 1987.— 239 с.
10. Лыкова Т. И., Окунь И. М., Милютин А. А. и др. Исследование мускариновых холинорецепторов синаптических мембран мозга животных разного возраста // Биофизика.— 1983.— 28, № 4.— С. 709—710.
11. Милютин А. А., Аксенцов С. Л., Окунь И. М. и др. Сравнительные исследования структурного состояния синаптосомальных мембран мозга животных с различной продолжительностью жизни при старении // Демографические, физиологические и биохимические аспекты старения.— Минск : Наука и техника.— 1976.— С. 72—79.
12. Милютин А. А., Окунь И. М., Аксенцов С. Л. и др. О возрастных изменениях аллостерических свойств ацетилхолинэстеразы мозга // Биофизика.— 1976.— 21, № 6.— С. 1120—1122.
13. Милютин А. А., Беляева Е. И., Буланова К. Я. и др. Структурно-функциональные изменения синаптических мембран мозга при старении // Там же.— 1984.— 29, № 4.— С. 640—642.
14. Фролькис В. В. Старение. Нейрогуморальные механизмы.— Киев : Наук. думка, 1981.— 320 с.
15. Armbrecht H., Birnbaum L., Zenser T., Davis B. Changes in hepatic microsomal membrane fluidity with age // Exp. gerontology.— 1982.— 17, N 1.— P. 41—48.
16. Aronstam R., Abood L., Hoss W. Influence of sulphydryl reagents and heavy metals on the functional state of the muscarinic acetylcholine receptor in rat brain // Mol. Pharmacol.— 1978.— 14, N 4.— P. 575—586.
17. De Medio G. F., Tovaratti G., Piccinin G., Porcelati G. The effect of cytidine—diphosphate choline (CDP—choline) on brain lipid change during aging // J. Neurosci. Res.— 1984.— 11, N 1.— P. 49—58.
18. Finch C. E. The regulation of physiological changes during mammalia aging // Quart. Rev. Biol.— 1976.— 51, N 1.— P. 49—83.
19. Morris D., McNeil R., Castellino F., Thomas J. Interaction of lysophosphatidylcholine with phosphatidylcholine bilayers. A photophysical and NMR study // Biochim. et biophys. acta.— 1980.— 599, N 2.— P. 380—390.
20. Shinitzky M., Henkart P. Fluidity of cell membranes-current concepts and trends // Int. Rev. Cytol.— 1979.— 60, N 2.— P. 982—999.
21. Sineriz F., Farias R., Trucco T. The convenience of the use of allosteric «probes» for the study of lipid-protein interactions in biological membranes: thermodynamic considerations // J. Theor. biol.— 1975.— 52, N 1.— P. 113—120.
22. Sun A., Sun J. Neurochemical aspects of the membrane hypothesis of aging // Intern. discipl. Topics Gerontol.— 1979.— 15, N 1.— P. 34—53.
23. Van Echteld C., De Kruijff B., Mandersloot J., De Gier J. Effects of lysophosphatidylcholines on phosphatidylcholine and phosphatidylcholine/cholesterol liposome systems as revealed by ^{31}P -NMR, electron microscopy and permeability studies // Biochem. et biophys. acta.— 1981.— 649, N 2.— P. 211—220.

Ин-т фотобиологии АН БССР,
Минск

Материал поступил
в редакцию 30.02.90

УДК 612.822.1/3:546.41:612.67
Д. Сатrustеги, Е. Богонез, Ж. Виторика,
П. Бланко, А. Мартинез-Серрано

Изменения кальцийтранспортных систем в синапсах мозга крыс и их возможное участие в патофизиологии старения

Ионы кальция играют важную роль в нейромедиации. В области плазматической мембранны кальций запускает секрецию медиатора в первичных синапсах. Вероятно, ионы кальция вступают во взаимодействие с

© д. САТРУСТЕГИ, Е. БОГОНЕЗ, Ж. ВИТОРИКА, П. БЛАНКО,
А. МАРТИНЕЗ-СЕРРАНО, 1990.

Физиол. журн., 1990, т. 36, № 5

кальцийсвязывающими белками цитоза. Однако выделение различных пор [35]. Известно также ключевые ферменты активирующие протеинфосфатазы, фосфорилирующие регуляторы могутности, участвующие в энергетических соединений, а также ской мембранны) и элементы принимают участие в крепость и пластичность). Позиция, играют решающую роль. Раскрытие под влиянием кальциевых каналов (ПЗКК) низмом повышения уровня Важными механизмами, управляющими механизмами (митохондрии и выведение через плазматическую мембрану [5, 7]).

Кальциевые каналы. Естественные каналы, так называемые каналы на плазматической мембране идентификация в нервных

Первые доказательства были снижены при старении новили снижение обусловленное наптосомах 24-месячных и 3-месячных животных. Иные с функцией ПЗКК, $^{45}\text{Ca}^{2+}$ с возрастом. Например, только раскрытие ПЗКК, существует входу кальция в ющих работах, проведенных старении было проанализировано вклада Na/Ca -обменника поддерживаемой на постоянстве.

При определении механизма захвата кальция при различном возрасте обнаружено, что с возрастом при различном возрасте установили какихлибо концентрациях K^+ . Эти данные раниего потенциала, вероятно при старении. Более напряжения у 3- и 24-месячных крыс, в то время как в гипоталамусе (V) не изменяется.

Исследования синапсов показывают, что в синаптосомах противостояния ПЗКК-опосредованному, который описан в этой связи с тем, что шкала значительного отличается в синапсах, определение синаптической активации, остается спорным.

В исследованиях крыс, проведенных Физиол. журн., 1990, т. 36,

следование 8-
—27, № 1.—

рного состоя-
ния холинэстера-

оды белков в
яторные про-
ариновых хо-
ста // Биофи-

исследования
с различной
логической
и. 72—79.

нениях алло-
-21, № 6.—

кциональные
—29, № 4.—

наук. думка,
osomal mem-
heavy metals
brain // Mol.

ne — diphos-
J. Neurosci.

lia aging //

hatidylcholi-
/ Biochim. et
nd trends //

«probes» for
ynamic con-
ing // Inter-
phosphatidyl-
osome sys-
y studies //

ал поступил
ию 30.02.90

кальцийсвязывающими белками на разных этапах везикулярного экзоцитоза. Однако выделение рецептора кальция остается безуспешным до сих пор [35]. Известно также, что внутриклеточный кальций регулирует ключевые ферменты активности нейронов, такие как протеинкиназы, протеинфосфатазы, фосфолипазы и кальцийзависимые протеазы. Эти различные регуляторы могут действовать на различные белки (в частности, участвующие в энергетическом обмене и обмене нейроныспецифических соединений, а также регулирующие возбудимость плазматической мембраны) и элементы цитоскелета. Кальцийрегулируемые системы принимают участие в кратко- и долгосрочных процессах (возбудимость и пластичность). Поэтому факторы, регулирующие уровень кальция, играют решающую роль в нормальной деятельности нервной системы. Раскрытие под влиянием деполяризации потенциалзависимых кальциевых каналов (ПЗКК), по-видимому, является основным механизмом повышения уровня кальция в цитозоле нервных окончаний. Важными механизмами, участвующими в выведении кальция из цитозоля после активации нейрона, являются его депонирование клеточными органеллами (митохондриями и эндоплазматическими мембранными) и выведение через плазматическую мембрану посредством Ca^{2+} -АТФазы и Na_0/Ca_i -обменника [5, 7].

Кальциевые каналы. Нейроны имеют различные типы потенциалзависимых каналов, так называемые T-, L- и N-типы [29]. Однако локализация каналов на плазматической мемbrane неравномерна [19], а их идентификация в нервных окончаниях по-прежнему противоречива.

Первые доказательства того, что вход кальция через ПЗКК может быть снижен при старении, получены Peterson и Gibson [30]. Они установили снижение обусловленного деполяризацией захвата $^{45}\text{Ca}^{2+}$ в синаптосомах 24-месячных крыс по сравнению с таковым в синаптосомах 3-месячных животных. Имеются некоторые другие факторы (не связанные с функцией ПЗКК), которые могли бы вызывать снижение захвата $^{45}\text{Ca}^{2+}$ с возрастом. Например, деполяризация синаптосом вызывает не только раскрытие ПЗКК, но и обратимость Na/Ca -обменника, что способствует входу кальция в клетку (Na_i/Ca_o -режим) [9, 21]. В последующих работах, проведенных в нашей лаборатории, состояние ПЗКК при старении было проанализировано в условиях сведения к минимуму вклада Na/Ca -обменника низкой концентрацией кальция (32 ммол/л), поддерживаемой на постоянном уровне в течение периода деполяризации.

При определении мембранныго потенциала синаптосом ($\Delta\Phi$) и захвата кальция при разных концентрациях калия у крыс различного возраста обнаружено, что количество захваченного кальция снижается с возрастом при различных условиях деполяризации [21]. Мы не установили каких либо различий $\Delta\Phi$ с возрастом при различных концентрациях K^+ . Эти данные свидетельствуют о том, что эффекты мембранныго потенциала, вероятно, не вовлечены в снижение захвата кальция при старении. Более того, анализ зависимости захвата $^{45}\text{Ca}^{2+}$ от напряжения у 3- и 24-месячных крыс показал, что значения максимального захвата кальция были приблизительно на 22 % ниже у 24-месячных крыс, в то время как среднее значение напряжения активации (V) не изменилось при старении (рис. 1) [21].

Исследования синаптосом с применением токов $^{45}\text{Ca}^{2+}$ показали, что в синаптосомах происходит потенциал- и кальций зависимая инактивация ПЗКК-опосредованного захвата $^{45}\text{Ca}^{2+}$ [27, 36], подобного тому, который описан в электрофизиологических исследованиях. Однако в связи с тем, что шкала времени в экспериментах с токами $^{45}\text{Ca}^{2+}$ значительно отличается от таковой в электрофизиологических исследованиях, определение синаптосомальных ПЗКК, подвергающихся инактивации, остается спорным. Более того, их чувствительность к органическим блокаторам каналов кальция четко не выявляется.

В исследованиях кинетики инактивации захвата $^{45}\text{Ca}^{2+}$ у 3- и 24-месячных крыс, проведенных в условиях ограничения вхождения кальция

(«потенциалзависимой инактивации») или свободного вхождения кальция («потенциал- и кальций зависимой инактивации»), установлено, что максимальная инактивация, наблюдавшаяся у 24-месячных крыс, была меньшей, чем у 3-месячных животных. Кроме того, полупериод распада был также длиннее у старых животных в обоих условиях (рис. 2) [23].

В серии параллельных исследований у 3-месячных крыс установлено, что нифедипин (1,0 мкмоль/л), добавленный в преинкубационную среду, восстанавливала на 20 % захват $^{45}\text{Ca}^{2+}$ во все периоды эксперимента.

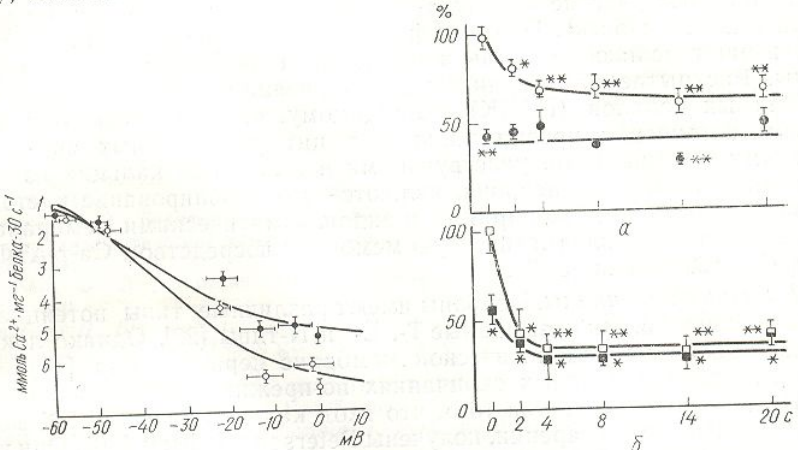


Рис. 1. Зависимость захвата $^{45}\text{Ca}^{2+}$ от мембранныго потенциала (МП) в среде, содержащей холин.

Захват кальция нормализовали по $\text{Ca}_{\text{макс}}$ (максимальный захват у 3-месячных крыс), а уравнение Больцмана $\text{Ca}_{\text{макс}} \cdot [(1 + \exp(\bar{V} - V))K]$ решали по экспериментальным данным, где \bar{V} — среднее напряжение активации, K — фактор крутизны. При этом получены следующие значения: напряжение активации, K — фактор крутизны. При этом получены следующие значения: напряжение активации, $K = (13,5 \pm 2,0) \text{ мВ}^{-1}$, $\bar{V} = (-36,24 \pm 2,6) \text{ мВ}$ у 3-месячных крыс (светлые символы) и $K = (14,66 \pm 2,4) \text{ мВ}^{-1}$, $\bar{V} = (-40,50 \pm 3,2) \text{ мВ}$ у 24-месячных животных (темные символы). Эти результаты нанесены относительно соответствующего МП, определяемого по TPR+ [21].

Рис. 2. Инактивация захвата кальция, стимулированного K^+ , в синаптосомах 3-(светлые символы) и 24-(темные символы) месячных крыс.

Синаптосомы (2 мг белка/мл) от 3- и 24-месячных крыс были преинкубированы в течение 5 мин при температуре 30 °C в среде с низкой концентрацией K^+ (5,0 ммоль/л), после чего аликвоты перенесли в среды с высокой (65 ммоль/л) или низкой (5 ммоль/л) концентрацией K^+ , не содержащие CaCl_2 (а) или содержащие (б) 0,5 ммоль/л CaCl_2 . В обозначенные периоды времени добавляли $^{45}\text{Ca}^{2+}$ (0,75 мкКи $^{45}\text{Ca}^{2+}$, мл; а) или до конечной концентрации 50 мкмоль/л и радиоактивную метку (0,75 мкКи $^{45}\text{Ca}^{2+}$, мл; б) и не до конечной концентрации 50 мкмоль/л и радиоактивную метку (0,75 мкКи $^{45}\text{Ca}^{2+}$, мл; б). Результаты выражены только радиоактивную метку (б). Захват кальция регистрировали через 2 с. Результаты выражены в процентах K^+ -стимулированного (высокая концентрация минус низкая) захвата $^{45}\text{Ca}^{2+}$ в нулевое время у 3-месячных крыс — $(0,089 \pm 0,006)$ ммоль·мл⁻¹ белка·2 с⁻¹ на позиции а и $(0,747 \pm 0,09)$ ммоль·мг⁻¹ белка — на позиции б. В случае а среды преинкубации и деполяризации содержат 25 мкмоль/л ЭГТА для исключения загрязнения эндогенным кальцием. Достоверность различий со значениями, полученными в нулевое время: * $P < 0,1$; ** $P < 0,0125$ [23].

менту по изучению инактивации (рис. 3) [23]. Этот эффект нифедипина на кинетику инактивации ПЗКК-опосредованного входа $^{45}\text{Ca}^{2+}$ свидетельствует о том, что дигидропиридины блокируют какую-то часть захвата $^{45}\text{Ca}^{2+}$, которая не инактивировалась в течение эксперимента (20 с). Интересно отметить, что остальная часть неинактивировавшегося посредством ПЗКК нифедипинчувствительного захвата $^{45}\text{Ca}^{2+}$ была выраженно снижена у 24-месячных животных (см. рис. 3). Более того, нифедипинрезистентный, чувствительный к инактивации, захват $^{45}\text{Ca}^{2+}$ был также снижен при старении (см. рис. 3). Эти результаты в какой-то мере удивительны, так как связывание верапамила с возрастом повышается в синаптосомальных мембранах мозга крысы [4], хотя, как предполагают, верапамил взаимодействует с тем самым L-типом каналов кальция, которые связывают дигидропиридины.

Митохондрии. Давно известно, что митохондрии относятся к внутренним клеточным органеллам со сравнительно более высокой способностью к накоплению кальция. Транспорт кальция в митохондриях мозга крысы состоит из следующих двух отдельных систем: унипорта кальция, запускаемого электрической мембранны, и эндогенного Na^+ . При устойчивом сокращении в митохондриальной мембрена скорость входа и скорости выхода кальция, полагают, что их тозоля незначительно, так

Рис. 3. Эффект нифедипина на потенциалзависимую инактивацию захвата $^{45}\text{Ca}^{2+}$, вызванного K^+ .

Инактивацию K^+ -стимулированного $^{45}\text{Ca}^{2+}$ у 3- (светлые символы) или 24- (темные символы) месячных крыс измеряли членами 1,0 мкмоль/л нифедипина (а) или 1,0 мкмоль/л ВАУ-К-8644 (б) добавленные в начале преинкубации этих добавлений (кружочки). Их проводили в бескальциевой среде с 0,5 ммоль/л CaCl_2 (б). Для различий между показателями без нифедипина: * $P < 0,1$; ** $P < 0,0125$ [23].

порта относительно низким вопрос возник в связи с тем, что полиамины способствуют кальцию в системе унипорта.

При старении способность к энергии остается неизменной, дыхательных субстратов не изменяется [38]. Однако вхождение кальция в митохондрии значительно снижается при старении, сдвигаясь вправо на позицию а. Достоверность различий со значениями, полученными в нулевое время: * $P < 0,1$; ** $P < 0,0125$ [23].

Результаты, полученные о том, что установленный спорта кальция, вероятно, ях. Эти авторы изучали митохондрии и экстрамитохондрии методом разрыва диэлектрического $^{45}\text{Ca}^{2+}$ уменьшающим выводом, используя другие (карбонилцианид-4,3-фторполиэфирные) калием быструю выделению кальция, митохондриальные ферменты соотношение КЦФМГ-выделяемый $^{45}\text{Ca}^{2+}$ митохондриально-экстракционных животных состоящих из старых, 24-месячных, ж. Распределение кальция блюдется в изолированных синаптосомах крысы яконо свидетельствует о том, что митохондрии являются основным источником кальция в синаптосомах крысы.

вхождения
установленных
крыс, полуperiод
условиях

установленной
экспериментальной

**

**
*

20 с

среде, содержащей
активаторы
и уравнение
де \bar{V} — среднее
значение;
и $K = (14,66 \pm$
Эти результаты
составах 3-(свет-

в течение 5 мин
аликвоты пере-
не содержащие
добавления CaCl_2
 a^+ , мкмоль/л; c) и
 опыты выразили
 Ca^{2+} в нуклеовом
гра ($0,747 \pm$
вариации содержа-
сторонность раз-

ект нифедипина
кода $^{45}\text{Ca}^{2+}$
ую-то часть
спецификации
изировавшее-
вата $^{45}\text{Ca}^{2+}$
рис. 3). Бол-
гиваний, за-
Эти резуль-
таты пропали с
озга крысы
тем самым
ридины.
ся к внутрен-
пособностию
приях мозга
порта каль-

ция, запускаемого электрохимическим градиентом через митохондриальную мембрану, и электронейтрального антипорта кальция, в результате которого один ион (Ca^{2+}) обменивается на два иона (H^+ или Na^+). При устойчивом состоянии (steady state) распределение кальция в митохондриальной мембране отражает кинетическое равновесие, когда скорость входа и скорость выхода сбалансированы [28].

Несмотря на высокую способность митохондрий к накоплению кальция, полагают, что их реальное значение как буфера кальция цитозоля незначительно, так как аффинность к кальцию в системе уни-

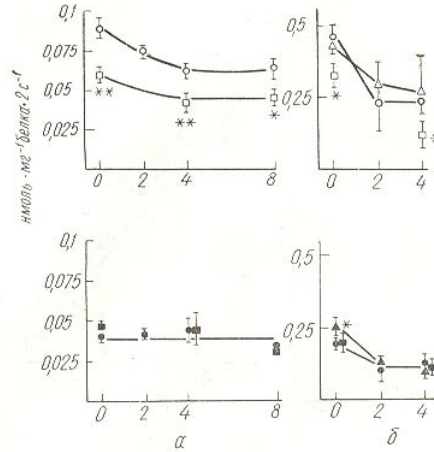


Рис. 3. Эффект нифедипина и BAY-K 8644 на потенциалзависимую (a) и на потенциал- и кальций зависимую (b) инактивацию захвата $^{45}\text{Ca}^{2+}$, стимулированного K^+ .

Инактивацию K^+ -стимулированного захвата $^{45}\text{Ca}^{2+}$ у 3- (светлые символы) или 24- (тёмные символы) месячных крыс измеряли при наличии 1,0 мкмоль/л нифедипина (квадратики) или 1,0 мкмоль/л BAY-K-8644 (треугольники), добавленные в начале преникубации, или без этих добавлений (кружочки). Инактивацию проводили в бескальциевой среде (a) или в среде с 0,5 ммоль/л CaCl_2 (b). Достоверность различий между показателями без или с нифедипином: * $P < 0,1$; ** $P < 0,0125$ [23].

среде, содержащей

порт относительно низка (около 1 мкмоль [28]). Так ли это? Этот вопрос возник в связи с полученными недавно данными о том, что полиамины способствуют значительному повышению аффинности к кальцию в системе унипорта [14].

При старении способность митохондрий мозга к преобразованию энергии остается неизменной, даже если использование определенных дыхательных субстратов (например, глутамата) может быть сниженным [38]. Однако вхождение кальция посредством унипорта в митохондрии значительно снижено (рис. 4) [18, 39]. Вследствие этого распределение кальция по обе стороны митохондриальной мембраны изменяется при старении, сдвигаясь в сторону более высоких значений распределения экстрамитохондриального кальция у старых крыс (рис. 5) [39].

Результаты, полученные Peterson и соавт. [31], свидетельствуют о том, что установленный в изолированных митохондриях дефект транспорта кальция, вероятно, имеется и в синаптосомальных митохондриях. Эти авторы изучали распределение синаптосомального $^{45}\text{Ca}^{2+}$ в митохондриях и экстрамитохондриальных фракциях, полученных с помощью метода разрыва дигитонином, и установили, что доля митохондриального $^{45}\text{Ca}^{2+}$ уменьшается при старении. Мы пришли к аналогичным выводам, используя другой подход, основанный на применении КЦФМГ (карбонилцианид-4,3-флюорометоксифенилгидразона) в опытах на деполяризованных калием синаптосомах. Этот разобщитель способствует быстрому выделению кальция, представляющего собой, как предполагают, митохондриальный кальциевый пул. В условиях данного определения соотношение КЦФМГ-выделяемый $^{45}\text{Ca}^{2+}$: (общий $^{45}\text{Ca}^{2+}$ — КЦФМГ-выделяемый $^{45}\text{Ca}^{2+}$), которое может быть представлено как митохондриально-экстрамитохондриальный коэффициент, у 3- и 12-месячных животных составляет 0,62 и 0,59 соответственно, тогда как у старых, 24-месячных, животных — лишь 0,39. Поскольку это изменение распределения кальция в синаптосомах аналогично тому, которое наблюдается в изолированных митохондриях (см. рис. 5), наши результаты явно свидетельствуют о том, что дефект транспорта каль-

ция имеется как в свободных, так и в интрасинаптических митохондриях [39].

Становится ясным, что кальций, накопленный в митохондриях, выступает в качестве регулятора митохондриальных дегидрогеназ [13, 20]. Эта роль вполне может выполняться, независимо от того, что значительная доля митохондриального кальция находится в связанный форме и поэтому является метаболически инертной, поскольку ответственной за регуляцию дегидрогеназ может быть очень небольшая доля ионизированного кальция. В результате исследования выхода кальция

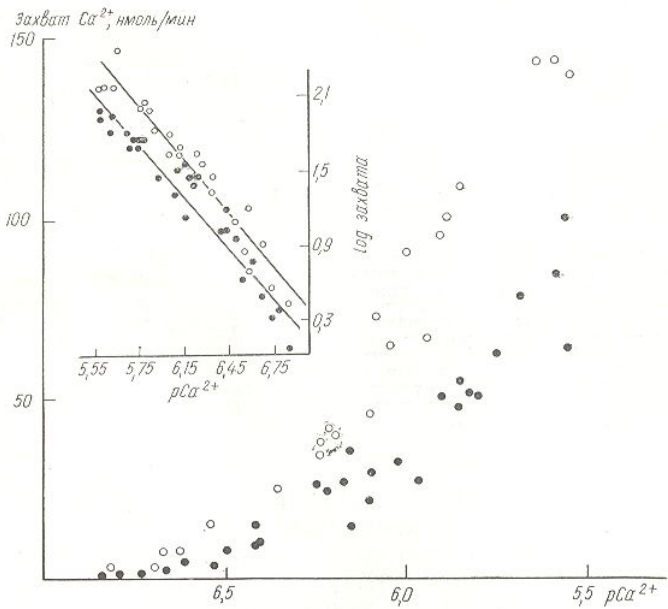


Рис. 4. Возрастные колебания захвата Ca^{2+} митохондриями мозга крыс. Митохондрии мозга (0,6 мг белка) от 3- (светлые символы) или 24- (темные символы) месячных крыс инкубировали в среде с 0,32 моль/л манитола, 10 моль/л трис-HCl, 20 моль/л KCl, 0,1% бычьего сверточного альбумина, свободного от жирных кислот (pН 7,4), 2,5 моль/л сукцинат-калиевая соль, 0,4 мкмоль/л ротенона, 0,8 моль/л P_i , 0,2 моль/л АДФ, 0,4 имоль/л олигомицина- Mg^{2+} белка, приготовленной на нитрилоакетатном Ca^{2+} -буфере и при различных кальциевых нагрузках. Изменение содержания Ca^{2+} - определяли с помощью кальцийчувствительного электрода. Захват кальция определяли после добавления калибровочной дозы кальция, рассчитывая разницу концентраций, наблюдаемых после каждой добавки кальция. Вставка показывает логарифм изменения захвата Ca^{2+} относительно $p\text{Ca}$ в митохондриях мозга старых и взрослых крыс. Наклоны и пересечения этих линий были достоверно различными ($P<0,0001$) [39].

из митохондрий установлено, что при эквивалентных дозах «нагрузки» кальцием выход кальция, наблюдающийся в условиях достатка или нехватки Na^+ , был меньше у 24-месячных крыс, чем у 3-месячных [40]. Этот дефект, вероятно, вызван уменьшением в матриксе митохондрий достаточного для выделения количества свободного кальция, так как этот дефект наблюдался также при стимуляции выхода кальция ионофором для кальция A 23187, т. е. в ситуации, когда опосредованные носителем эффекты исключаются [40].

Поскольку фосфат (P_i) является одним из основных компонентов кальцийбуферной системы в митохондриальной матрице [37] и его количество значительно увеличено в митохондриях старых животных [40], возможно, что увеличение количества P_i может быть ответственно за повышение буферной емкости кальциевого митохондриального матрикса у старых животных.

Если митохондрии мозга старых животных захватывают меньше кальция, чем митохондрии взрослых животных, и свободная фракция кальция в матриксе митохондрий старых животных меньше, чем у взрослых, то вследствие этого может быть существенное ухудшение активации кальцием митохондриальных ферментов у старых живот-

ных. Действительно, мы пока что это может касаться пи-

Кальций цитозоля. Притом, что гомеостаз кальца при старении [12]. Кроме Na_i/Ca_o -обменника [18, 21], мы, участвующие в выведении рану, также модифицируют свободного кальция ($[\text{Ca}^{2+}]_i$)

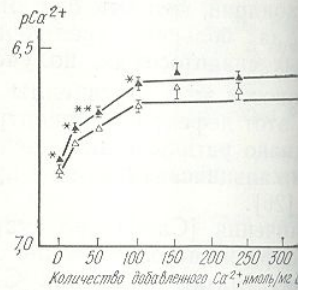


Рис. 5. Устойчивое распределение с 0,2 ммоль/л АДФ и 0,8 ммоль/л Митохондрии мозга (0,6 мг белка) в 0,8 моль/л P_i , 0,2 моль/л АДФ, 0,4 моль/л ацетатном Ca^{2+} -буфере при наличии определения после добавления различных концентраций кальция. Достоверность различий устанавливали с помощью критерия t .

Рис. 6. Концентрация кальция в синапсах крыс.

Средние значения ± стандартная ошибка для различных фракций (б, в, инкубированной в метил)-этilenдиамина (ТПЭД, 5 мин при температуре различий: * $P<0,01$; ** $P<0,005$;

регулирующей внутриклеточную важно выяснить, как эти факторы влияют на возрастные различия.

На рис. 6 приведены данные синаптосом 3- и 24-месячных крыс при использовании флуоресцентного метода определения концентрации $[\text{Ca}^{2+}]_i$ в покое, резко повышенены у старых крыс. На зонде Квин-2 воздействие мы преинкубировали в течение 2 ч в пиридилиметил-этilenдиамине (ПЭД) на желых металлов, перед определением концентрации $[\text{Ca}^{2+}]_i$ в покое. Результаты показывают, что концентрация кальция в синапсах крыс у старых животных выше, чем у молодых (рис. 6).

Ввиду выраженного повышения концентрации кальция с возрастом, [Ca] $^{2+}$ в синапсах крыс, чтобы избежать ограничений емкостью зонда Квин-2, мы модифицировали метод определения концентрации $[\text{Ca}^{2+}]_i$ с использованием зонда Квин-2.

Показано, что количество клеток кожи человека уменьшается также, что рост культуры клеток кожи человека уменьшается медленнее, чем взятых синапсовых клеток, для культуры клеток кожи крысы кальциевым ионом.

митохондриях, вы-
гена [13],
о, что зна-
связанной
ку ответст-
ьшая доля
ка кальция

ных. Действительно, мы получили данные, свидетельствующие о том, что это может касаться пируватдегидрогеназы [6, 33].

Кальций цитозоля. Представленные результаты свидетельствуют о том, что гомеостаз кальция в синаптосомах мозга крыс нарушается при старении [12]. Кроме дефектов входления $^{45}\text{Ca}^{2+}$ через ПЗКК и $\text{Na}^+/\text{Ca}^{2+}$ -обменник [18, 21], имеется также сообщение о том, что системы, участвующие в выведении кальция через синаптосомальную мембрану, также модифицируются при старении [25]. Концентрация свободного кальция ($[\text{Ca}^{2+}]_i$) в цитозоле является основной переменной,

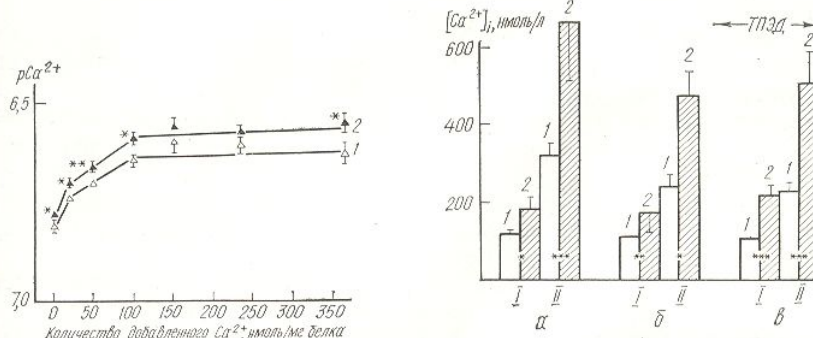


Рис. 5. Устойчивое распределение Ca^{2+} в митохондриях мозга, инкубированных в среде с 0,2 мМоль/л АДФ и 0,8 мМоль/л Р₁.

Митохондрии мозга (0,6 мг белка) взрослых (I) и 27-месячных (II) крыс инкубировали в среде с 0,8 мМоль/л Р₁, 0,2 мМоль/л АДФ, 0,4 мМоль/л олигомицина·мг⁻¹ белка, приготовленной на нитрилоэтантом Ca^{2+} -буфере при наличии сукцинатной (калиевая соль), рСа устойчивого состояния определения после добавления различных доз кальция с помощью кальцийчувствительного электрода. Достоверность различий устойчивого распределения Ca между митохондриями взрослых и старых крыс оценивали с помощью критерия t Стьюдента: * P<0,05; ** P<0,025 [39].

Рис. 6. Концентрация кальция в цитозоле синаптосом ($[\text{Ca}^{2+}]_i$) 3- (I) и 24- (II) месячных крыс.

Средние значения ± стандартная ошибка для $[\text{Ca}^{2+}]_i$ в синаптосомах (a) или грубых синаптосомальных фракциях (b, в), инкубированных без или с 20 мкмоль/л N,N,N',N'-тетракис (2-пиридинилметил)-этилендиамина (ТПЭД, 5 мин преникубации). Г—5 мМоль/л K⁺; II—65 мМоль/л K⁺. Достоверность различий: * P<0,01; ** P<0,005; *** P<0,025 [22].

волов) 3-месячных—
оль/л KCl, 0,1 %
оль/л сукцинат-
ль/л олигомици-
ных кальциевых
ного электрода.
щих разницу—
логарифм изме-
ры. Наклоны и

«нагрузки»
остатка или
сияющих [40].
митохондрий
ия, так как
льция ионо-
следованные

компонентов
[37] и его-
х животных
ответствен-
ндриального

ают меньше
ая фракция
ные, чем у
е ухудшение
арых живот-

990, т. 36, № 5

регулирующей внутриклеточные эффекты кальция. В связи с этим было важно выяснить, как эти факторы могли бы сами влиять на $[\text{Ca}^{2+}]_i$.

На рис. 6 приведены данные о концентрации кальция в цитозоле синаптосом 3- и 24-месячных крыс, полученные в экспериментах с использованием флюоресцентного зонда Квин-2 [22]. Установлено, что значения $[\text{Ca}^{2+}]_i$ и в покое, и после K⁺-индукционной деполяризации резко повышены у старых животных. Чтобы избежать угнетения сигнала зонда Квин-2 воздействием тяжелыми металлами [2], синаптосомы преникубировали в течение 5 мин с 20 мкмоль/л N,N,N',N'-тетракис (2-пиридинилметил)-этилендиамина (ТПЭД), проникаемого хелатора тяжелых металлов, перед определением $[\text{Ca}^{2+}]_i$. Эта процедура не повлияла на различие значений $[\text{Ca}^{2+}]_i$ между группами взрослых и старых животных (рис. 6).

Ввиду выраженного повышения концентрации кальция в цитозоле животных с возрастом, $[\text{Ca}^{2+}]_i$ определялась двумя различными способами, чтобы избежать ограничений, обусловленных высокой буферной емкостью зонда Квин-2, а именно: с помощью фура-2-метода и модифицированного метода нулевой точки, разработанного Williamson и соавт. [41]. Использование обоих этих методов подтвердило увеличение значений $[\text{Ca}^{2+}]_i$ с возрастом [22].

Показано, что количество свободного кальция в цитозоле фибробластов кожи человека уменьшается с возрастом [32]. Авторы показали также, что рост культуры клеток, взятых от старых доноров, более медленный, чем взятых от молодых доноров, и этот феномен, свойственный для культуры клеток старых доноров, устраняется обработкой клеток кальциевым ионофором А 23187. Если возрастные изменения

кальциевого равновесия общие для человека и крысы, то результаты конкуренции клеток свидетельствуют о том, что изменения концентрации кальция в цитозоле являются тканеспецифичными, поскольку, во-первых, инкубация с А 23187 (от 0,5 до 5,0 мкмоль/л), значительно усиливающим захват кальция и выделение ацетилхолина в синаптосомах, не исключает возрастного снижения выделения ацетилхолина, наблюдаемого у 24-месячных крыс [24]; во-вторых, данные, полученные Landfield и Pitler [16] на нейронах гиппокампа, а также результаты наших собственных исследований, полученные на синаптосомах мозга, свидетельствуют о том, что $[Ca^{2+}]_i$ в нейронах более высокая в старости.

Молекулярные механизмы, ответственные за повышение $[Ca^{2+}]_i$ с возрастом, пока не известны. Дефект митохондрий, который был описан выше, возможно, частично ответствен за большое увеличение $[Ca^{2+}]_i$, наблюдаемое в K^+ -деполяризованных синаптосомах, полученных от старых крыс, по из-за низкой аффинности этой органеллы к кальцию [28] до сих пор не ясно, влияет ли этот дефект на концентрацию кальция в интактных синаптосомах. Однако ретикулярные насосы и насосы плазматической мембранны [25] или кальцийсвязывающие протеины могут быть вовлечены в этот процесс [26].

Независимо от возможных причин увеличения $[Ca^{2+}]_i$ при старении, вероятно, это увеличение имеет важные физио-патологические последствия для функции нейрона. В нейронах улитки и клетках GH3 результат необратимой кальцийзависимой деградации или вследствие дефосфорилирования эндогенных кальцийзависимых фосфатаз [1, 10]. Представляется убедительным то, что повышенные значения $[Ca^{2+}]_i$ при старении, вероятно, вызваны прекращением функционирования дигидропириддинчувствительных ПЗКК в синаптосомах старых крыс.

В настоящее время общепризнано, что «сверхнагрузка» клеток кальцием может вызывать определенные типы гибели клеток. Так, избыточный вход Ca^{2+} , по-видимому, приводит к нескольким категориям повреждений лимфоцитов, гепатоцитов и мышечных клеток посредством мембраноактивных токсинов или нейромедиаторов [11, 15, 17, 34]. Кроме того, имеются данные, указывающие на то, что «сверхнагрузка» клеток кальцием может являться патогенетическим механизмом при возникновении гипоксически-ишемического повреждения нейрона [8]. Существует много возможных причин, почему сохраняющееся увеличение $[Ca^{2+}]_i$ является токсичным. Среди специфических событий, вызванных избытком $[Ca^{2+}]_i$, можно назвать активацию внутриклеточных протеаз и липаз, которая может привести к необратимому повреждению клетки. Даже если цепь событий, начинаящаяся патологическим увеличением $[Ca^{2+}]_i$ и ведущая к гибели клетки, останется до конца неизвестной, вероятно, увеличение $[Ca^{2+}]_i$ при старении может быть возрастспецифическим фактором риска для повреждения нейрона.

J. Satrústegui, E. Bogómez, J. Vítónica, P. Blanco,
A. Martínez-Serrano

ALTERATIONS IN THE CALCIUM-TRANSPORT SYSTEMS OF THE RAT BRAIN SYNAPTOSOMES AND THEIR POSSIBLE INVOLVEMENT IN THE PATHOPHYSIOLOGY OF AGEING

Studies were undertaken on the age-associated peculiarities of the Ca^{2+} transport systems of the rat brain synaptosomes. It has been found that $^{45}Ca^{2+}$ uptake reduced with ageing. The above reduction was not linked with the changes in the permeability of potential-dependent synaptosomal membrane Ca^{2+} depending upon the membrane potential. The distribution of calcium across the mitochondrial membrane changed with ageing, shifting towards higher extramitochondrial calcium levels in old rats, both in isolated and in synaptosomal mitochondria. While studying calcium efflux from mitochondria, it was

found that, at equivalent calcium rats as compared to adult animals after K^+ -depolarization drastically mechanisms in neuronal injury, conditi

Center of Molecular Biology,
University of Madrid (Spain)

СПИСОК ЛИТЕРАТУРЫ

1. Armstrong D., Eckert R. Voltag gated to respond to membrane 84.—P. 2518—2522.
2. Arstrand P., Virgilio F. D., Belt and Yoshida carcinomas. A new that these ascites tumor cell lin 1985.—260.—P. 2719—2727.
3. Ashley R. H. Buffer capacity o 240.—P. 310—311.
4. Battaini F., Govoni S., Rius [3H] verapamil binding to ra P. 67—71.
5. Blaustein M. P. Calcium trans 1988.—11.—P. 438—443.
6. Bogómez E., Martínez A., Blanco dependent dephosphorylation o 13.—P. S92.
7. Carafoli E. Intracellular calci P. 395—433.
8. Choi D. W. Calcium-mediated n role in ischemic damage // Trends.
9. Coutinho O. P., Carvalho C. A. polarization and Na^+/Ca^{2+} ex 1984.—290.—P. 261—271.
10. Eckert R., Chad J. E. Inactiva 1984.—44.—P. 215—267.
11. Farber J. L. The role of calcium 1987.—8.—P. 329—34.
12. Gibson G. E., Peterson C. C. Aging.—1987.—8.—P. 329—34.
13. Hansford R. G. Relation betwee gy metabolism // Rev. Physiol.
14. Jensen J. R., Lynch G., Baudry sport in rat brain // J. Neurochir.
15. Kaiser N., Edelman I. S. Calci sis // Proc. Natl. Acad. Sci. USA.
16. Landfield P. W., Pitler T. A. hippocampal neurons of aged r.
17. Leonard J. P., Salpeter M. M. action is mediated by calcium //
18. Leslie S. W., Chandler L. J., B. in mitochondria and synaptoso P. 177—183.
19. Lipscombe D., Madison D. V., nels and cytosolic calcium tra neurons // Proc. Natl. Acad. Sci.
20. MacCormack J. G., Denton R. Trends Biochem. Sci.—1986.—
21. Martínez A., Vítónica J., Bogó pathways of calcium influx in 257.
22. Martínez A., Vítónica J., Satrú in rat brain synaptosomes //
23. Martínez-Serrano A., Bogóne d $^{45}Ca^{2+}$ influx in synaptos tating calcium channels and is phosphorylation // J. Neurochir.
24. Meyers E. M., Crews F. T., O rat cortical synaptosomes to c rochem.—1986.—47.—P. 1244
25. Michaelis M. L., Joho K., Kito systems for Ca^{2+} regulation 225.
26. Michaelis M. L. Molecular me

результаты
нения кон-
ти, посколь-
у/л), значи-
она в си-
а ацетилхо-
данные, по-
а также ре-
синаптосо-
более высо-

не $[Ca^{2+}]_i$
и был опи-
увеличение
х, получен-
ганеллы к
концентра-
ные насосы
ающие про-

при старе-
ических по-
летках GH3
тъся в ре-
вследствие
газ [1, 10].
ния $[Ca^{2+}]_i$
рования диг-
к крыс.
а» клеток
ок. Так, из-
категориям
к посредст-
15, 17, 34].
хнагрузка»
изом при
йрона [8].
ся увеличе-
ий, вызван-
очных про-
вреждению
жим увели-
онца неиз-
быть воз-
она.

VOLVEMENT

sport systems
with ageing.
of potential-
potential. The
ageing, shif-
isolated and
ondria, it was

found that, at equivalent calcium loads, the calcium efflux rates were slower in old rats as compared to adult animals. As observed, both resting $[Ca^{2+}]_i$ and that obtained after K-depolarization drastically increased in old animals. The possible pathogenic mechanisms in neuronal injury, conditioned by this increase, are discussed.

Center of Molecular Biology,
University of Madrid (Spain)

СПИСОК ЛИТЕРАТУРЫ

1. Armstrong D., Eckert R. Voltage activated calcium channels that must be phosphorylated to respond to membrane depolarization // Proc. Nat. Acad. Sci. USA.—1987.—84.—P. 2518—2522.
2. Arslan P., Virgilio F. D., Beltrame M. et al. Cytosolic Ca^{2+} homeostasis in ehrlich and yoshida carcinomas. A new membrane-permeant chelator of heavy metals reveals that these ascites tumor cell lines have normal cytosolic free Ca^{2+} // J. Biol. Chem.—1985.—260.—P. 2719—2727.
3. Ashley R. H. Buffer capacity of intracellular Ca^{2+} indicators // Biochem. J.—1986.—240.—P. 310—311.
4. Baffaini F., Govoni S., Rius R. A., Trabucchi M. Age-dependent increase in $[^3H]$ verapamil binding to rat cortical membranes // Neurosci. Lett.—1985.—61.—P. 67—71.
5. Blaustein M. P. Calcium transport and buffering in neurons // Trends Neurosci.—1988.—11.—P. 438—443.
6. Bogómez E., Martinez A., Blanco P., Satrústegui J. Effects of ageing on depolarization dependent dephosphorylation of synaptosomal proteins // Neurochem. Int.—1988.—13.—P. S92.
7. Carafoli E. Intracellular calcium homeostasis // Ann. Rev. Biochem.—1987.—56.—P. 395—433.
8. Choi D. W. Calcium-mediated neurotoxicity: relationship to specific channel types and role in ischemic damage // Trends Neurosci.—1988.—11.—P. 465—469.
9. Coutinho O. P., Carvalho C. A. M., Carvalho A. P. Calcium uptake related to K^+ -depolarization and Na^+/Ca^{2+} exchange in sheep brain synaptosomes // Brain Res.—1984.—290.—P. 261—271.
10. Eckert R., Chad J. E. Inactivation of Ca^{2+} channels // Progr. Biophys. Mol. Biol.—1984.—44.—P. 215—267.
11. Farber J. L. The role of calcium in cell death // Life Sci.—1981.—29.—P. 1289—1295.
12. Gibson G. E., Peterson C. Calcium and the aging nervous system // Neurobiol. Aging.—1987.—8.—P. 329—343.
13. Hansford R. G. Relation between mitochondrial calcium transport and control of energy metabolism // Rev. Physiol. Biochem. Pharmacol.—1985.—102.—P. 1—72.
14. Jensen J. R., Lynch G., Baudry M. Polyamines stimulate mitochondrial calcium transport in rat brain // J. Neurochem.—1987.—48.—P. 765—772.
15. Kaiser N., Edelman I. S. Calcium dependence of glucocorticoid-induced lymphocytolysis // Proc. Nat. Acad. Sci. USA.—1977.—74.—P. 638—642.
16. Landfield P. W., Pittler T. A. Prolonged Ca^{2+} -dependent after hyperpolarizations in hippocampal neurons of aged rats // Science.—1984.—226.—P. 1089—1092.
17. Leonard J. P., Salpeter M. M. Agonist-induced myopathy at the neuromuscular junction is mediated by calcium // J. Cell. Biol.—1979.—82.—P. 811—819.
18. Leslie S. W., Chandler L. J., Barr C., Farrar R. P. Reduced calcium uptake by rat brain mitochondria and synaptosomes in response to aging // Brain Res.—1985.—329.—P. 177—183.
19. Lipscombe D., Madison D. V., Poenie M. et al. Spatial distribution of calcium channels and cytosolic calcium transients in growth cones and cell bodies of sympathetic neurons // Proc. Nat. Acad. Sci. USA.—1988.—85.—P. 2398—2402.
20. MacCormack J. G., Denton R. M. Ca^{2+} as a second messenger within mitochondria // Trends Biochem. Sci.—1986.—11.—P. 258—262.
21. Martinez A., Vitorica J., Bogómez E., Satrústegui J. Differential effects of age on the pathways of calcium influx into nerve terminals // Brain Res.—1987.—435.—P. 249—257.
22. Martinez A., Vitorica J., Satrústegui J. Cytosolic free calcium levels increase with age in rat brain synaptosomes // Neurosci. Lett.—1988.—88.—P. 336—342.
23. Martinez-Serrano A., Bogómez E., Vitorica J., Satrústegui J. Reduction of K^+ -stimulated $^{45}Ca^{2+}$ influx in synaptosomes with age involves inactivating and noninactivating calcium channels and is correlated with temporal modifications in protein dephosphorylation // J. Neurochem.—1989.—52.—P. 576—584.
24. Meyers E. M., Crews F. T., Otero D. H., Laren K. Aging decreases the sensitivity of rat cortical synaptosomes to calcium ionophore-induced acetylcholine release // J. Neurochem.—1986.—47.—P. 1244—1246.
25. Michaelis M. L., Johe K., Kitos T. E. Age-dependent alterations in synaptic membrane systems for Ca^{2+} regulation // Mech. Ageing and Develop.—1984.—25.—P. 215—225.
26. Michaelis M. L. Molecular mechanisms underlying age-dependent alterations in calcium

- homeostasis: the need for more information and new tools // Neurobiol. Ageing.—1987.—8.—P. 348—350.
27. Nachshen D. A. The early time course of potassium-stimulated calcium uptake in pre-synaptic nerve-terminals isolated from rat brain // J. Physiol.—1985.—361.—P. 261—268.
 28. Vicholls D., Akerman K. Mitochondrial calcium transport // Biochem. et biophys. acta.—1982.—683.—P. 57—88.
 29. Nowycky M. C., Fox A. P., Tsien R. W. Three types of neuronal calcium channel with different calcium agonist sensitivity // Nature.—1985.—316.—P. 440—443.
 30. Peterson C., Gibson G. E. Aging and 3,4-diaminopyridine alter synaptosomal calcium uptake // J. Biol. Chem.—1983.—258.—P. 11482—11486.
 31. Peterson C., Nicholls D., Gibson G. E. Subsynaptosomal calcium distribution during aging and 3,4-diaminopyridine treatment // Neurobiol. Ageing.—1985.—6.—P. 297—304.
 32. Satrústegui J., Martínez-Serrano A., Blanco P., Bogómez E. Influence of ageing on the compartmentation of calcium within nerve endings during depolarization and effects on pyruvate dehydrogenase dephosphorylation // Proc. 7th Weiner Symp. «The Theoretical Basis of Aging Research».—In press.
 34. Schanne F. A. X., Kane A. B., Young E. E., Farber J. L. Calcium dependence of toxic cell death: a final common pathway // Science.—1979.—206.—P. 700—702.
 35. Smith S. J., Augustine G. J. Calcium ions, active zones and synaptic transmitter release // Trends Neurosci.—1988.—11.—P. 458—464.
 36. Suszkiw I. B., O'Leary M. E., Murawsky M. M., Wang T. Presynaptic calcium channels in rat cortical synaptosomes: fast-kinetics of phasic calcium influx, channel inactivation, and relationship to nitrendipine receptors // J. Neurosci.—1986.—6.—P. 1349—1357.
 37. Vitórica J., Satrústegui J. The role of ADP in the modulation of the calcium-efflux pathways in rat brain mitochondria // Biochem. J.—1985.—225.—P. 41—49.
 38. Vitórica J., Clark A., Machado A., Satrústegui J. Impairment of glutamate uptake and absence of alterations in the energytransducing ability of old rat brain mitochondria // Mech. Ageing. Develop.—1985.—29.—P. 255—266.
 39. Vitórica J., Satrústegui J. Involvement of mitochondria in the age-dependent decrease in calcium uptake in rat brain synaptosomes // Brain Res.—1986.—378.—P. 36—48.
 40. Vitórica J., Satrústegui J. The influence of age on the calciumefflux pathway and matrix calcium buffering power in brain mitochondria // Biochem. et biophys. acta.—1986.—851.—P. 209—216.
 41. Williamson J. R., Williams R. J., Coll K. E., Thomas A. P. Cytosolic free Ca^{2+} concentration and intracellular calcium distribution of Ca^{2+} -tolerant isolated heart cells // J. Biol. Chem.—1983.—258.—P. 13411—13414.

Центр молекулярной биологии
Мадрид, Испания

Материал поступил
в редакцию 30.02.90

УДК 577.45:577.24

А. Р. Арменян, Л. Н. Аракелян, Г. В. Априкян

Захват и K^+ -вызванное высвобождение Н-норадреналина в мезодиэнцефальных синаптосомах белых крыс при старении. Роль N-ацетил-L-аспарагиновой кислоты

При старении выраженные изменения возникают в механизме адренергической передачи. Снижается активность ферментов, катализирующих синтез веществ-медиаторов, в частности катехоламинов, в определенных структурах головного мозга [8, 11, 20]. С возрастом уменьшается число рецепторов мозга, чувствительных к катехоламинам, изменяется их конформация, что и обусловливает снижение реакционной способности клетки и повышение чувствительности нейронов к гуморальным факторам [5, 15]. Уменьшается число мозговых синапсов [13]. Изменения обмена медиаторных веществ при старении, по мнению Gibson и соавт. [12], обусловлены нарушением кальциевого равновесия.

По немногочисленным имеющимся в литературе данным, захват и высвобождение катехоламинов, в частности норадреналина (НА), в

© А. Р. АРМЕНЯН, Л. Н. АРАКЕЛЯН, Г. В. АПРИКЯН, 1990.

срезах мозга ослабляются конкретно в синаптосомах щения об ослаблении в ми вызванного высвобожде ности аспарагиновой (Ас аминомасляной кислоты (Ам) и Гекчян и Априкян [1] кислота (NAAK) подавля езванное высвобождение Ас ловного мозга молодых и даних авторы предполага тором захвата и высвобожд NAAK — первая, обна кислота [19]. Затем были и соответствующий пепти ществе мозга количество / субклеточном фракционир синаптосомах [17]. Синапт об участии ее в синаптиче ция NAAK к спинномозго цистернальное и внутриве дающий эффект аспартата щество ингибирует связь рецепторами [7]. Имеют глутамат, повышает колич лушарий [6]. Несмотря на ческая функция NAAK в нас к изучению роли N-ацетил- K^+ -вызванном высвобождении синаптосомах при старении

Методика

В экспериментах использовали линии Вистар, содержащихся в виях. Синаптосомы из мезодиэнцефала инкубировали при наличии в них проводили со скоростью 1 мл/мин исследования описана ранее [3] радиоактивности суперфузионных синаптосом. При изучении захвата $^3\text{H}-\text{NA}$ (белка), содержащую $2.5 \cdot 10^{-8}$ моль/мл, фильтры (диаметр пор 0,65 мкм). Для учета неспецифического захвата 10 мл сцинтиляционной жидкости и 10 мл сцинтиляционной жидкости «Intertechnique» (Франция) и буфер pH 7,2—7,4 со сл. KH_2PO_4 — 1,2; MgSO_4 — 1,2; Навбавляли интратид (6 · 10^{-4} моль «Sigma» (США)). В среде, обогащенной молярным замещением NaCl на ми MgCl_2 (Американская компания «Amersham» (Англия)), NAAK (песка [18]).

Результаты и их обсуждение

Известно, что прекращение распада и удаления из мозгового транспортного комплекса — обратного захвата.